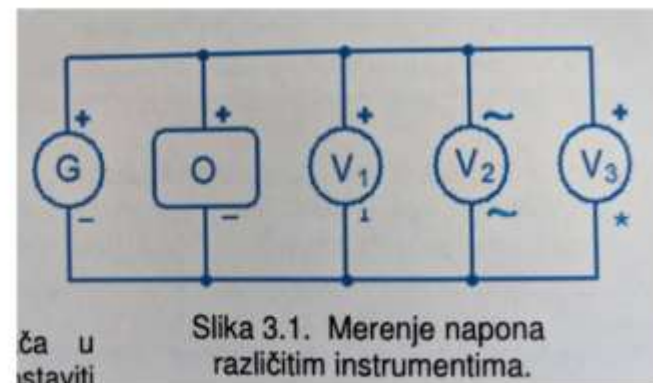
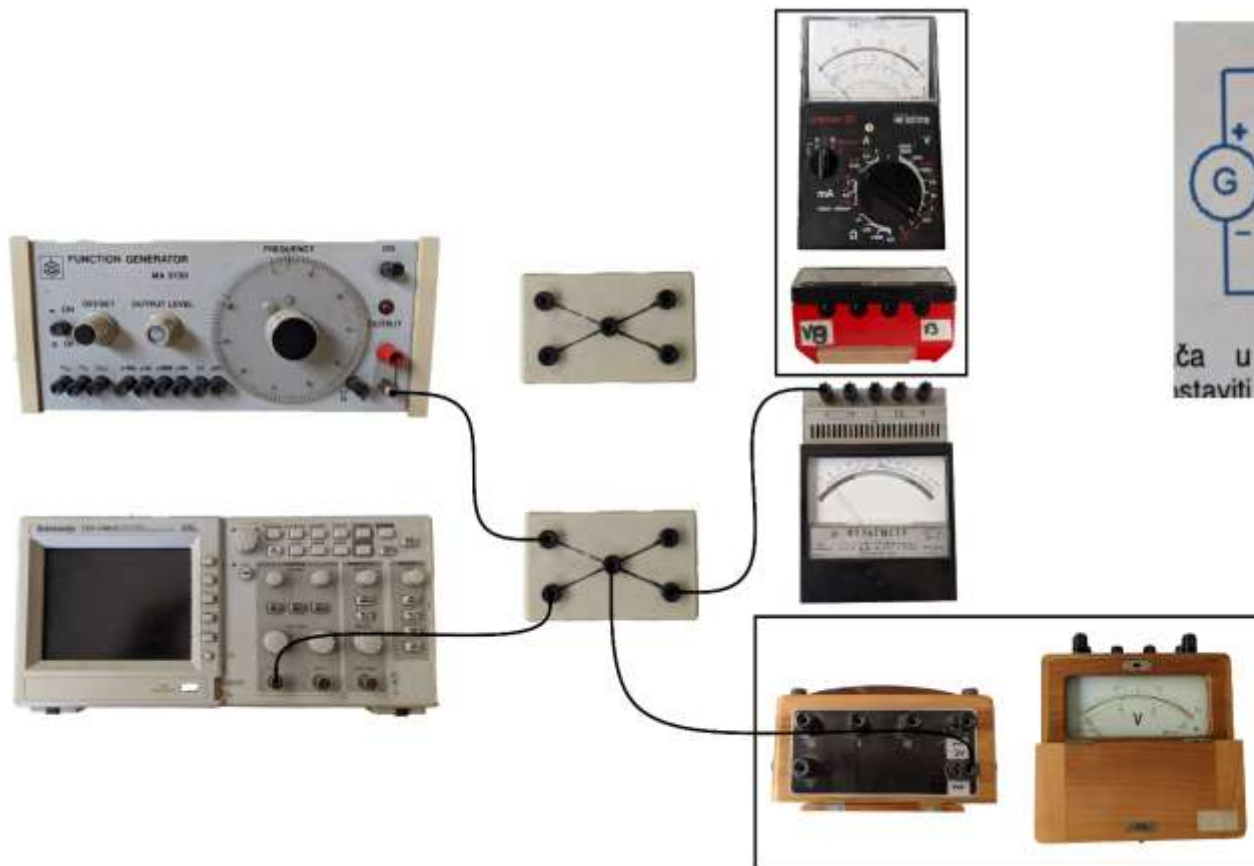
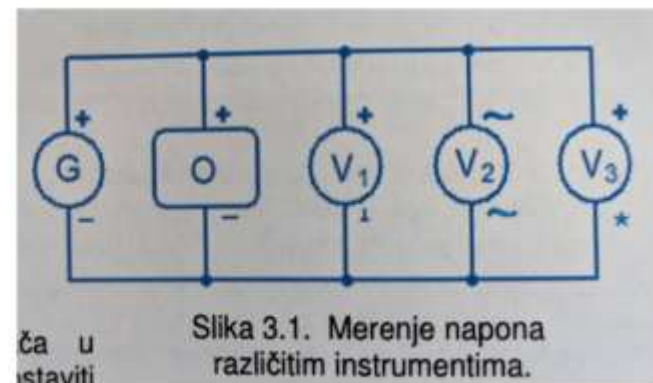
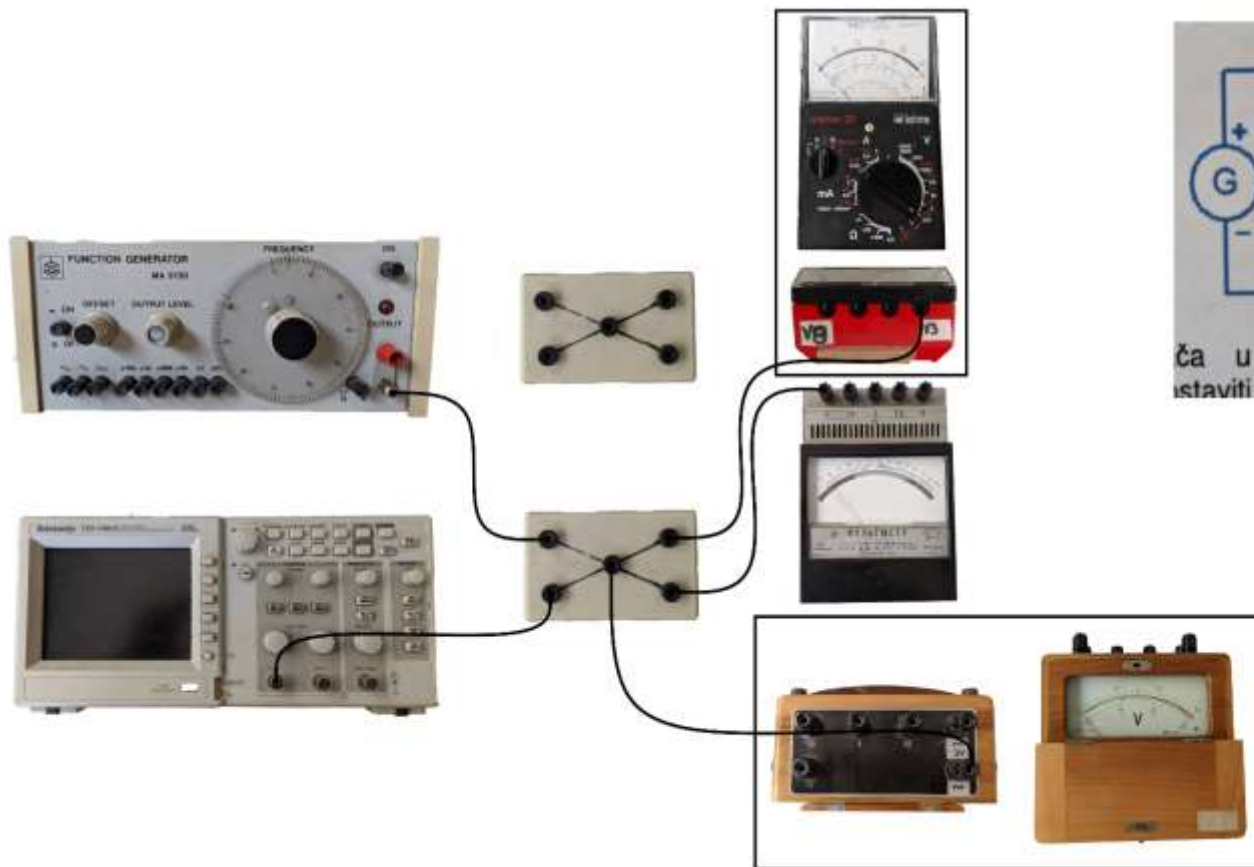


Slika 3.1. Merenje napona  
različitim instrumentima.

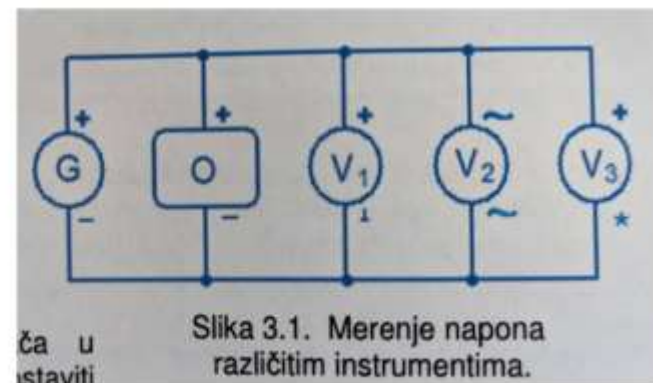
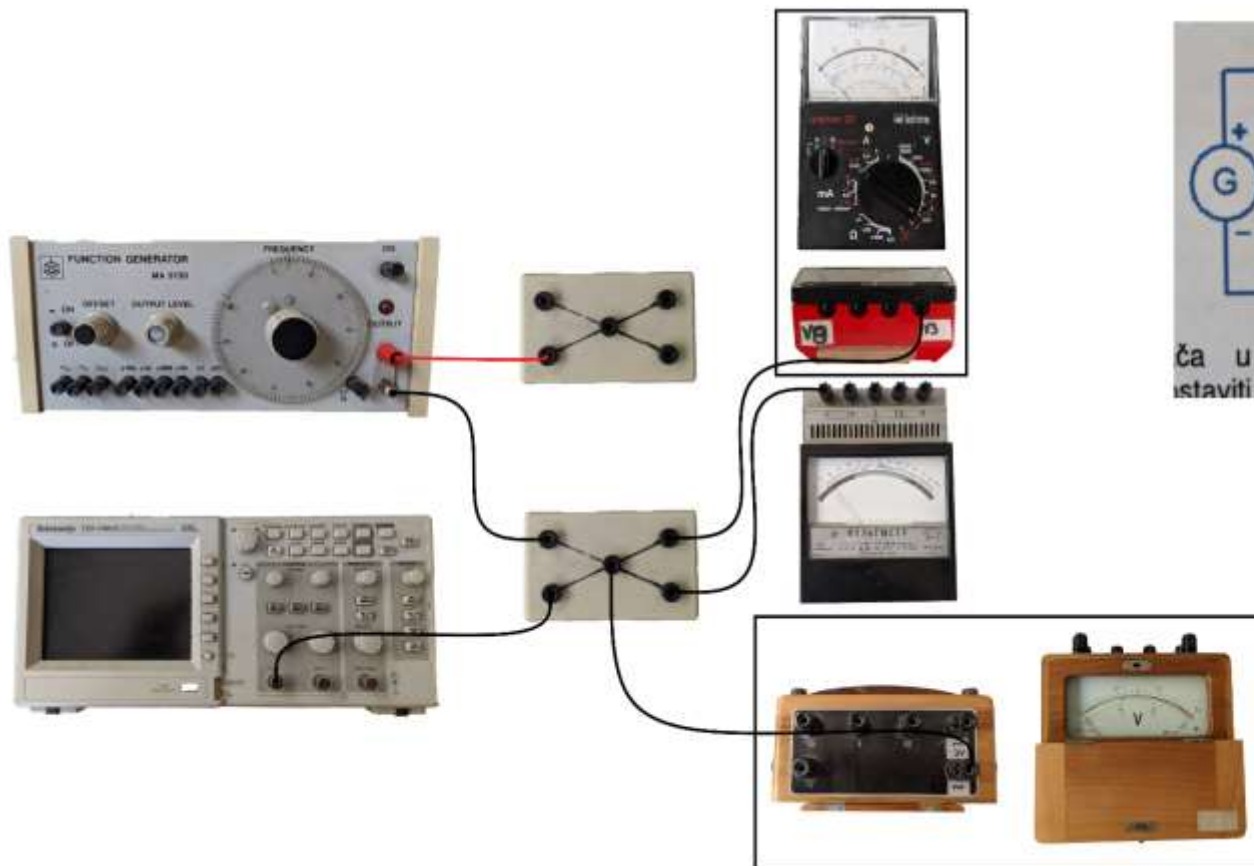


Slika 3.1. Merenje napona različitim instrumentima.

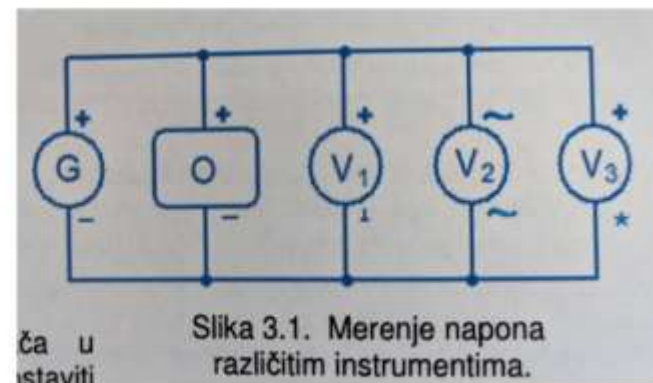
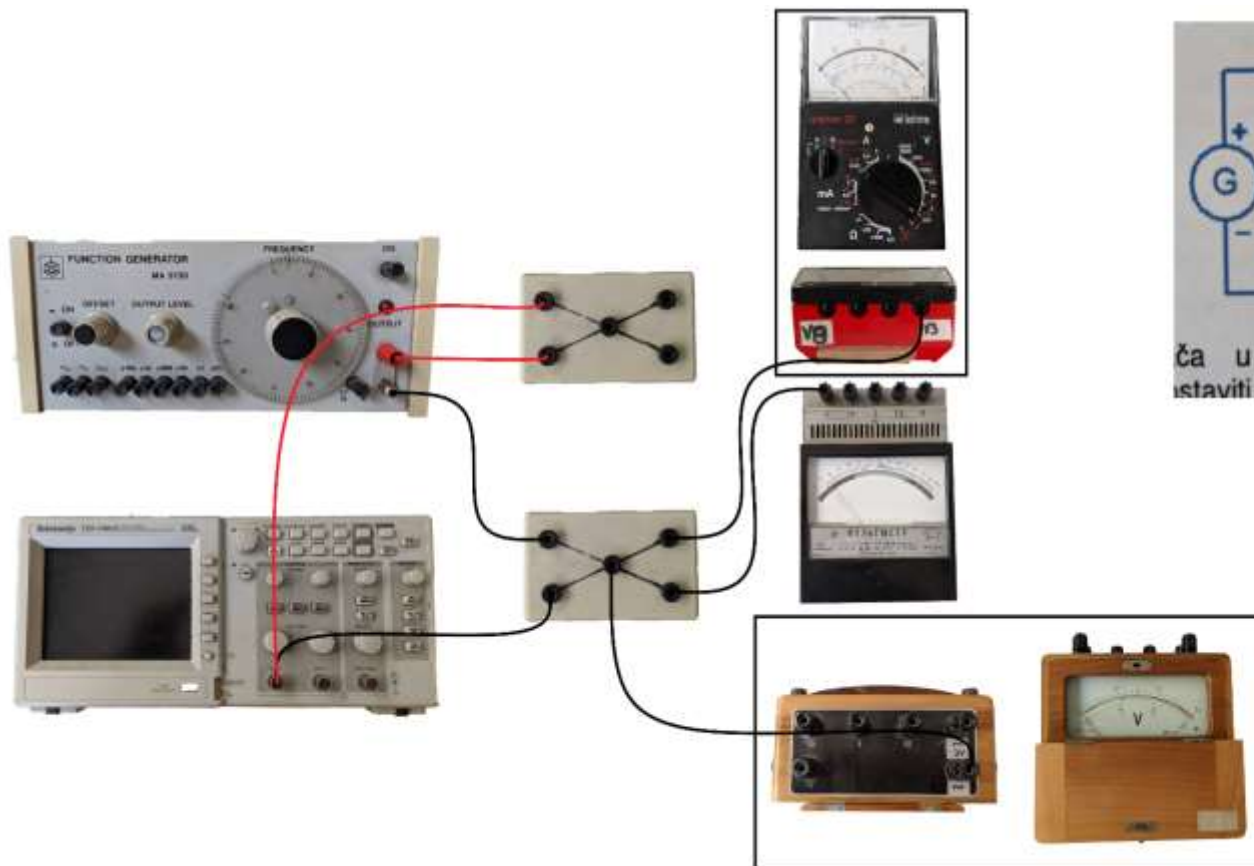


Slika 3.1. Merenje napona različitim instrumentima.



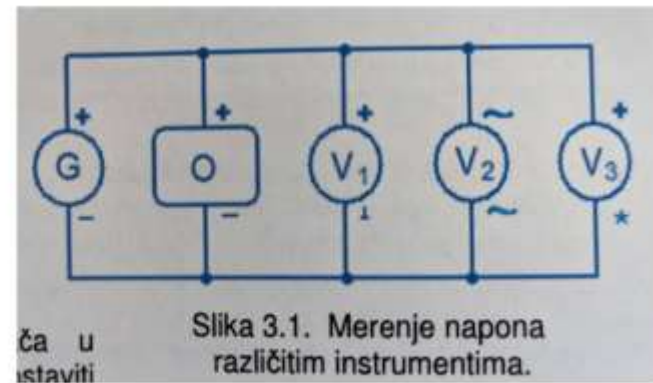
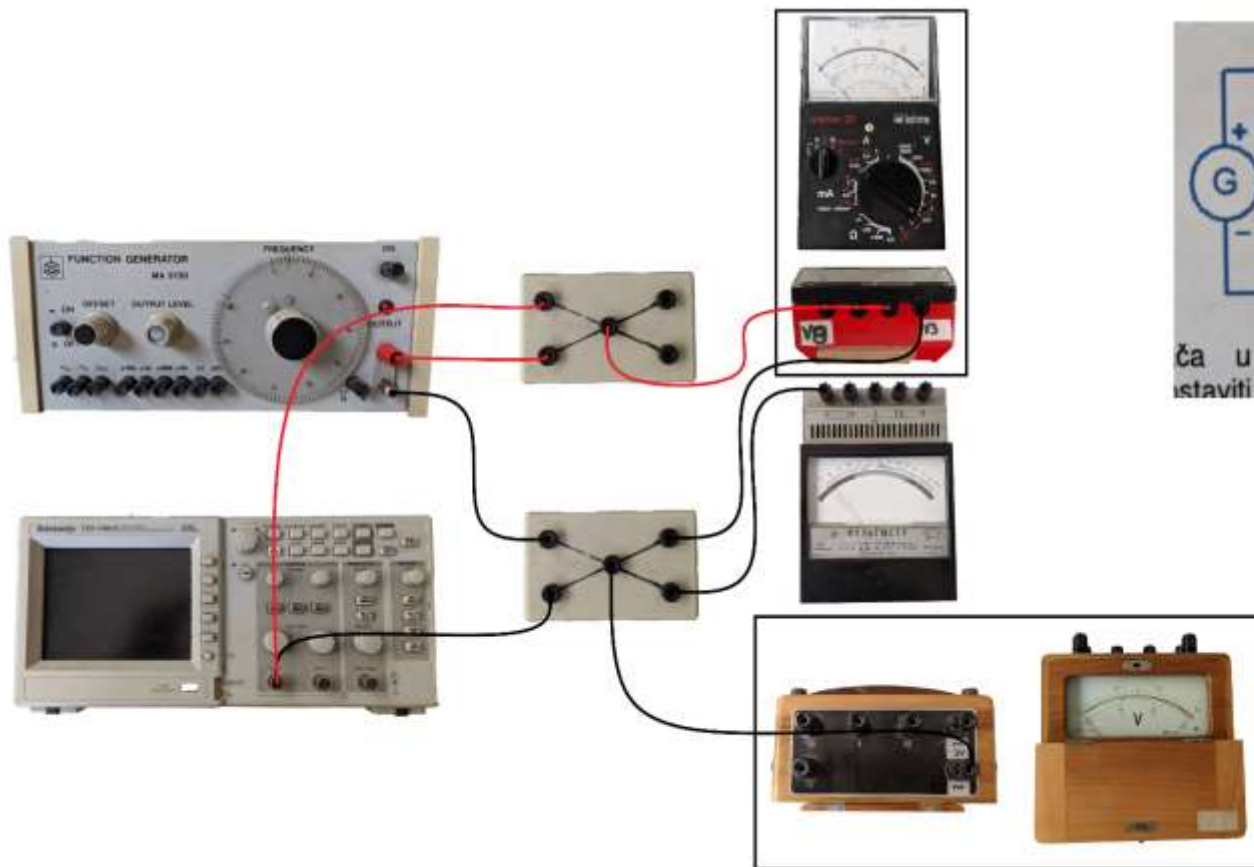


Slika 3.1. Merenje napona različitim instrumentima.

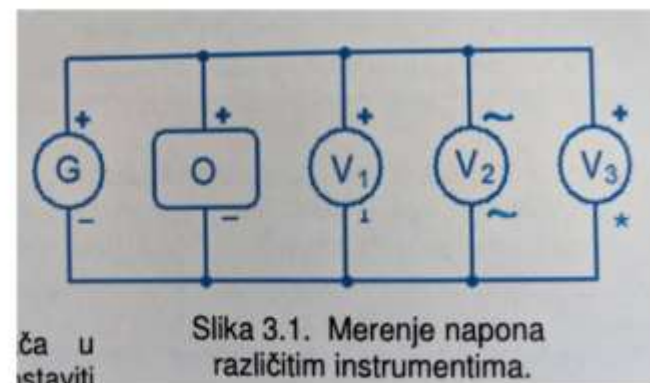
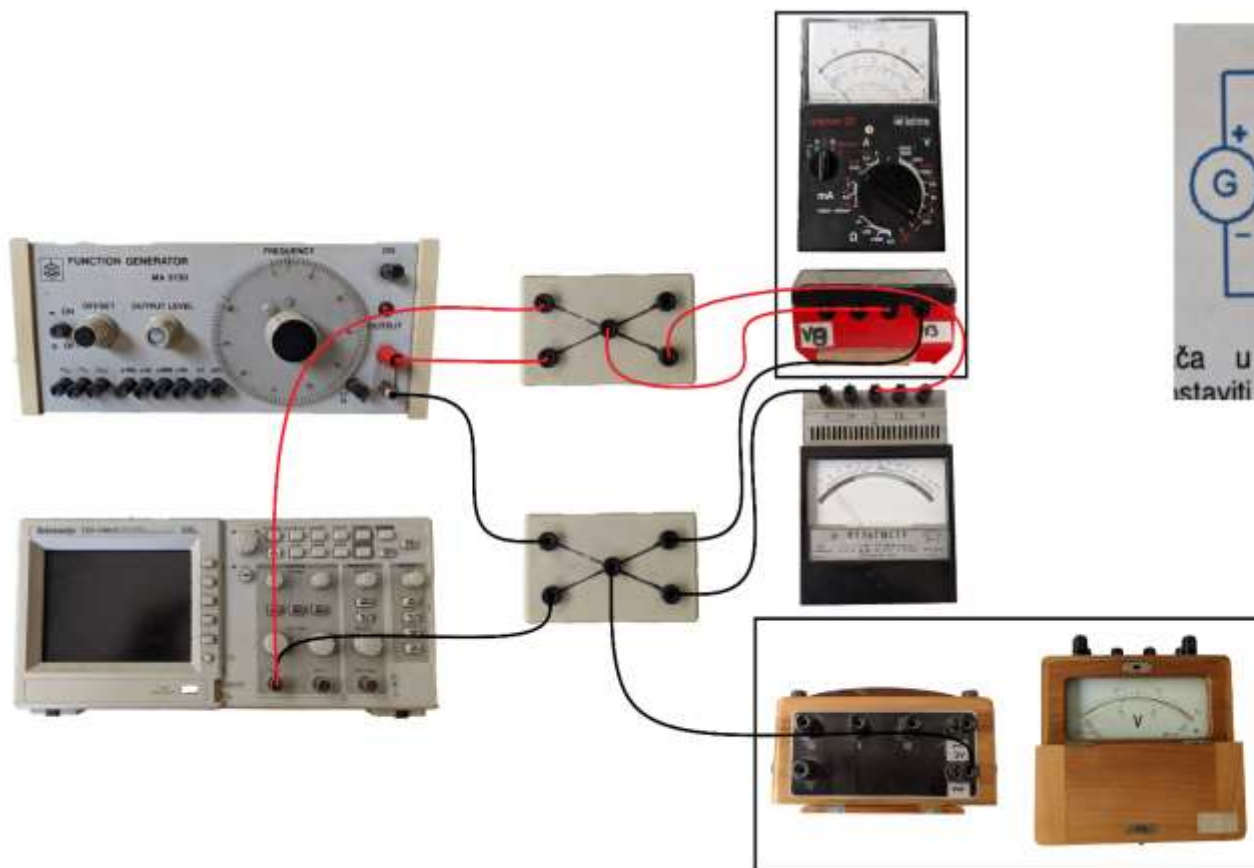


Slika 3.1. Merenje napona različitim instrumentima.

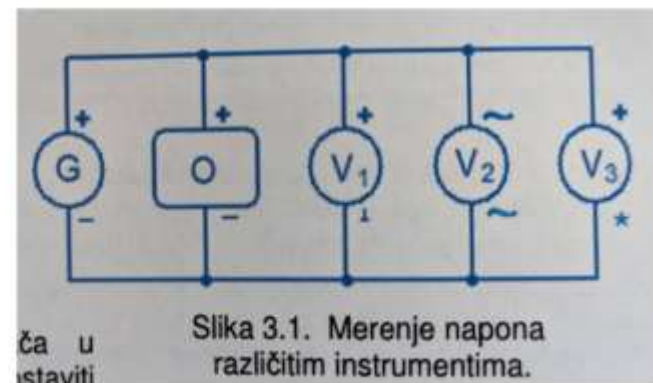
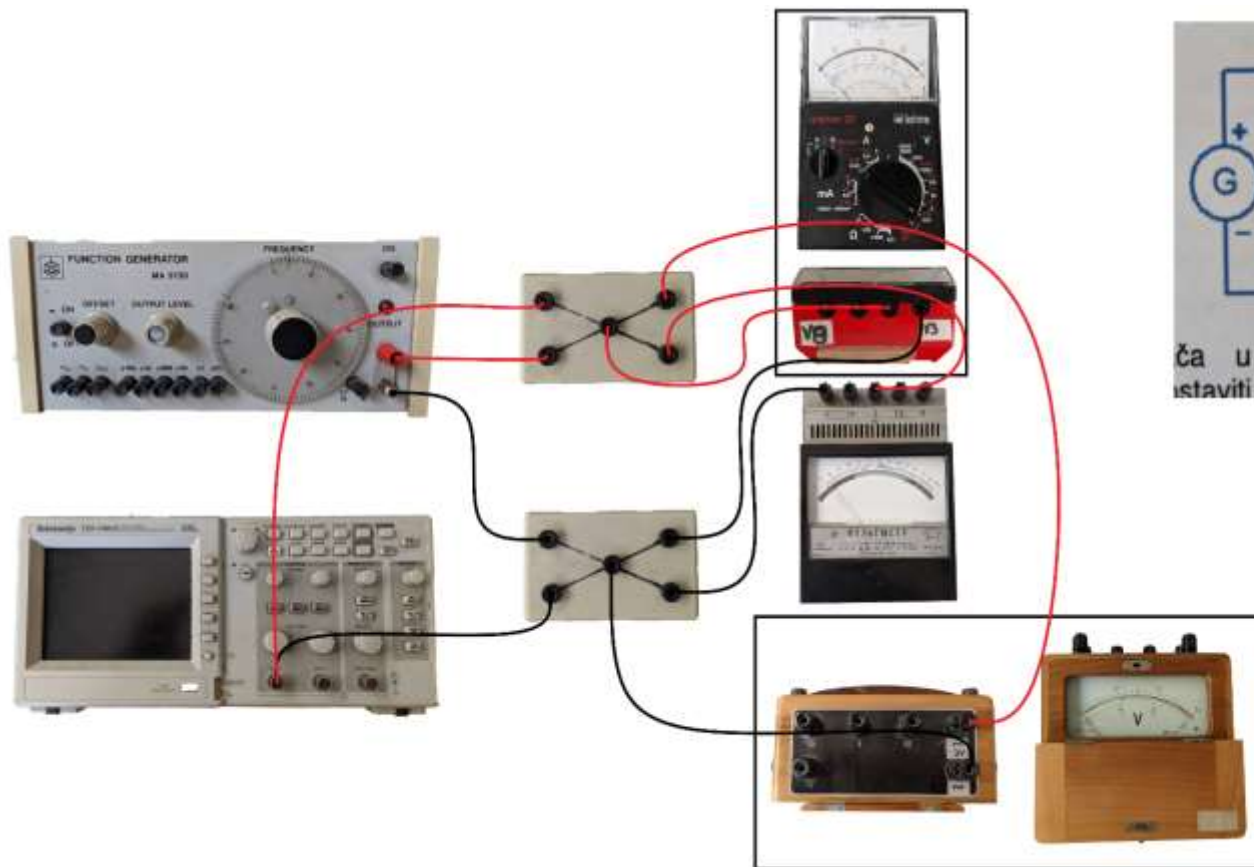


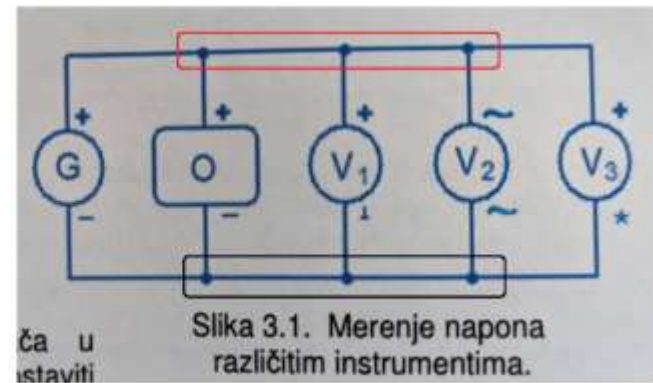
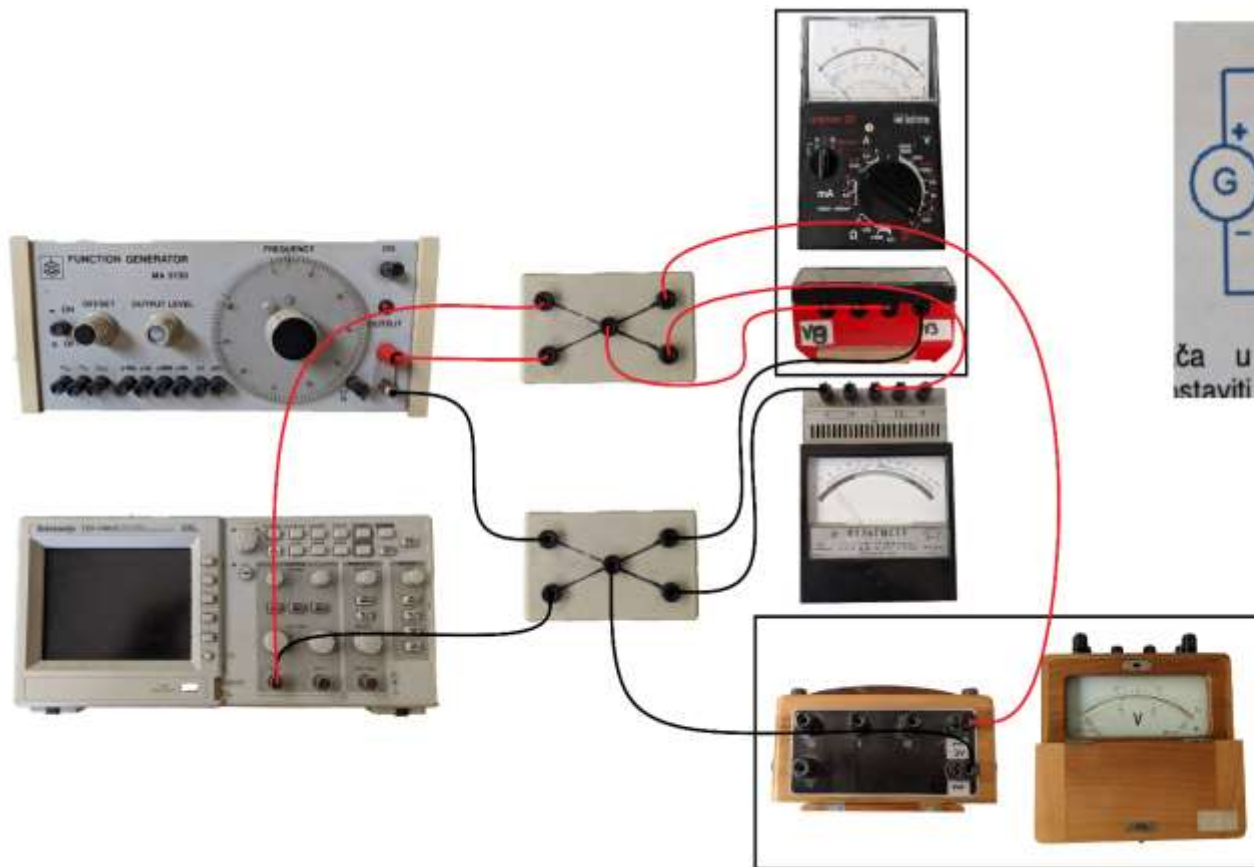


Slika 3.1. Merenje napona različitim instrumentima.



Slika 3.1. Merenje napona različitim instrumentima.





Slika 3.1. Merenje napona različitim instrumentima.

| Talasni oblik              |            | sinusni | trougaoni | četvrtke | sinusni | trougaoni | četvrtke |      |
|----------------------------|------------|---------|-----------|----------|---------|-----------|----------|------|
| Frekvencija $f$            | Hz         | 50      | 50        | 50       | 200     | 400       | 40       |      |
| Amplituda napona $U_{amp}$ | V          | 2       | 2         | 2        | 2       | 2         | 2        |      |
| $V_1$                      | $U_{M1}$   | V       | 1.41      | 1.14     | 2.34    | 1.48      | 1.20     | 2.30 |
|                            | $U_{R1}$   | V       |           |          |         |           |          |      |
|                            | $U_{T1}$   | V       |           |          |         |           |          |      |
|                            | $\Gamma\%$ | %       |           |          |         |           |          |      |
| $V_2$                      | $U_{M2}$   | V       | 1.35      | 1.20     | 2.25    | 1.30      | 1.05     | 2.20 |
|                            | $U_{R2}$   | V       |           |          |         |           |          |      |
|                            | $U_{T2}$   | V       |           |          |         |           |          |      |
|                            | $\Gamma\%$ | %       |           |          |         |           |          |      |
| $V_3$                      | $U_{M3}$   | V       | 1.40      | 1.12     | 1.94    | 1.38      | 1.10     | 1.92 |
|                            | $U_{R3}$   | V       |           |          |         |           |          |      |
|                            | $U_{T3}$   | V       |           |          |         |           |          |      |
|                            | $\Gamma\%$ | %       |           |          |         |           |          |      |

Tabela 3.1. Rezultati merenja amplituda napona različitih talasnih oblika.

| Talasni oblik              |               | sinusni      | trougaoni    | četvrtke     | sinusni     | trougaoni   | četvrtke    |             |
|----------------------------|---------------|--------------|--------------|--------------|-------------|-------------|-------------|-------------|
| Frekvencija $f$            | Hz            | <b>2 000</b> | <b>3 000</b> | <b>1 000</b> | <b>0.1</b>  | <b>0.1</b>  | <b>0.1</b>  |             |
| Amplituda napona $U_{amp}$ | V             | <b>1</b>     | <b>1</b>     | <b>1</b>     | <b>1</b>    | <b>1</b>    | <b>1</b>    |             |
| $V_1$                      | $U_{M1}$      | V            | <b>0.45</b>  | <b>0.35</b>  | <b>0.65</b> | <b>2.00</b> | <b>2.20</b> | <b>2.35</b> |
|                            | $U_{R1}$      | V            |              |              |             |             |             |             |
|                            | $U_{T1}$      | V            |              |              |             |             |             |             |
|                            | $\Gamma_{\%}$ | %            |              |              |             |             |             |             |
| $V_2$                      | $U_{M2}$      | V            | <b>0.50</b>  | <b>0.30</b>  | <b>0.70</b> | <b>1.10</b> | <b>1.20</b> | <b>1.30</b> |
|                            | $U_{R2}$      | V            |              |              |             |             |             |             |
|                            | $U_{T2}$      | V            |              |              |             |             |             |             |
|                            | $\Gamma_{\%}$ | %            |              |              |             |             |             |             |
| $V_3$                      | $U_{M3}$      | V            | <b>0.65</b>  | <b>0.45</b>  | <b>0.80</b> | <b>0.90</b> | <b>1.10</b> | <b>1.20</b> |
|                            | $U_{R3}$      | V            |              |              |             |             |             |             |
|                            | $U_{T3}$      | V            |              |              |             |             |             |             |
|                            | $\Gamma_{\%}$ | %            |              |              |             |             |             |             |

Tabela 3.2. Rezultati merenja amplituda napona različitih talasnih oblika.